



دانشگاه رتجان

دانشکده علوم - گروه فیزیک

مطالعه خواص اپتیکی مواد چپگرد

پایان نامه کارشناسی ارشد

هادی شیروی

استاد راهنما: دکتر محمد محمودی

استاد مشاور: دکتر امیرحسین درونه

چکیده

در این پایان‌نامه نخست مفهوم ضریب شکست منفی و علت آن در ماتریال‌ها بررسی شده است.

تغییرات ضریب گذرهای الکتریکی برای یک آرایه متشکل از سیم‌های بلند و نازک فلزی و نیز رفتار

ضریب تراوایی مغناطیسی برای آرایه‌ای شامل حلقه‌های تو در تو فلزی، مورد بررسی قرار گرفته است.

علاوه بر این برای ساختاری متشکل از ترکیب دو آرایه قبلی، تغییرات هم‌زمان این ضرایب نشان داده

شده است. همچنانی بعضی از خواص و ویژگی‌های منحصر به‌فرد مواد با ضریب شکست منفی و از آن

جمله عدسی کامل بیان گردیده است.

سپس برای اولین بار ماتریس پرتو برای تیغه‌ای از جنس ماده با ضریب شکست منفی معرفی شده و از

آن برای بررسی رفتار باریکه گاووسی لیزر استفاده شده است. با به‌کارگیری این ماتریس، مکان دقیق و

پهنه‌ای باریکه گاووسی خروجی از عدسی کامل محاسبه می‌شود. علاوه بر این پایداری تشدیدگرهايی که

حاوى مواد با ضریب شکست منفی هستند با استفاده از این ماتریس، مورد بررسی قرار گرفته است.

فهرست مندرجات

۶

مقدمه

فصل اول

- | | |
|----|---------------------------------------------------------------------------|
| ۹ | مواد با ضریب شکست منفی |
| ۹ | ۱-۱ ضریب شکست منفی |
| ۱۰ | ۲-۱ چرا n منفی می‌شود؟ |
| ۱۱ | ۳-۱ منفی شدن ضریب شکست منفی یا معکوس شدن بردار موج |
| ۱۴ | ۴-۱ آیا در مواد طبیعی ϵ منفی وجود دارد؟ |
| ۱۸ | ۵-۱ شبکه سیمی به عنوان ماده‌ای با ϵ منفی در فرکانس‌های پایین GHz |
| ۲۴ | ۶-۱ مواد با تراوایی مغناطیسی منفی |
| ۳۲ | ۷-۱ محیط‌های مغناطیسی همسانگرد منفی |
| ۳۴ | ۸-۱ مواد با ضریب شکست منفی |
| ۳۷ | ۹-۱ برخی اثرات بردار موج معکوس |
| ۳۸ | ۱-۹-۱ زاویه شکست منفی و قانون استنل |
| ۴۰ | ۲-۹-۱ بازتابش کلی و زاویه حد |
| ۴۱ | ۳-۹-۱ عدسی یا لنز کامل |
| ۴۲ | ۱-۳-۹-۱ ویژگی‌های لنز کامل |
| ۴۳ | ۴-۹-۱ جابجایی گوس-هنشن معکوس |
| ۴۵ | ۵-۹-۱ پدیده دوپلر |

فصل دوم

۴۸	ماتریس پرتو برای تیغه NRM و نقش آن در بررسی رفتار باریکه گاوی
۴۸	۱-۲ ماتریس پرتو
۵۲	۲-۲ معرفی ماتریس پرتو برای تیغه NRM
۵۳	۳-۲ تحقیق معادله کانونی $d = a + a'$
۵۴	۴-۲ معادله میدان الکتریکی در باریکه گاوی
۵۷	۱-۴-۲ تعریف شعاع مختلط انحنا
۶۰	۲-۴-۲ دامنه میدان
۶۲	۳-۴-۲ ضریب فاز طولی
۶۲	۴-۴-۲ ضریب فاز شعاعی
۶۳	۵-۲ قانون ABCD برای باریکه گاوی
۶۵	۶-۲ بررسی رفتار باریکه گاوی در برخورد با تیغه NRM
۶۸	۷-۲ محاسبه مکان کمر باریکه گاوی
۷۰	۸-۲ محاسبه شعاع باریکه گاوی
۷۱	۹-۲ بررسی رفتار باریکه گاوی در برخورد با محیط NRM نامحدود

فصل سوم

۷۴	تحلیل تشیدگرهای لیزری با حضور مواد با ضریب شکست منفی
۷۴	۱-۳ اجزای اصلی دستگاه تولید لیزر و شرح عمل آنها

۷۶	کاربرد ماتریس پرتو در کاواکهای نوری	۲-۳
۸۲	شرط پایداری برای تشدیدگرهای حاوی NRM	۳-۳
۸۷	تشدیدگرهای فیبرنوری	۴-۳
۹۰	۱-۴-۳ ویژگی تشدیدگرهای فیبرنوری	
۹۴	NRM تشدیدگرهای فیبرهای نوری از جنس	۵-۳
۹۴	۱-۵-۳ شرط پایداری برای تشدیدگر فیبرنوری از جنس NRM	
۹۷	نتیجه‌گیری	
۹۸	کتاب نامه	

مقدمه

بررسی پیشرفت‌های جهش‌گونه در حوزه علوم طبیعی و به تبع آن پیشرفت بشر در طول تاریخ نشان داده که همیشه این پیشرفت‌ها با تحولی بزرگ در درک انسان از ماهیت نور همراه بوده است. در سیر تحولات درک انسان از ماهیت نور، بررسی رفتار مواد مختلف با تابش نور بسیار حائز اهمیت بوده است به‌طوری‌که در توجیه رفتار نوری مواد در طبیعت یا علت پیدایش رنگ‌ها و بحث‌هایی نظیر آن، نظریه‌های مختلف در مورد ماهیت نور رد و یا تایید می‌شوند. به‌طور مثال نیوتن با مشاهده پدیده‌های نوری مانند تجزیه نور در منشور و یا شکست نور در آب و یا بازتابش در آینه‌ها، توانست نظریه ذره‌ای بودن نور را توجیه کند و بپذیرد.

در قرون شانزدهم و هفدهم میلادی و پس از آن، نور یا به‌صورت ذره‌ای و یا به‌صورت موجی تصور می‌شد اما در قرن نونزدهم ماکسول^۱ مفهوم عمیق‌تری از موجی بودن نور را به مردم ارائه داد و توانست نظریه ذره‌ای بودن موج را کنار بزند. تا این‌که در قرن بیستم معلوم شد که نور می‌تواند هم جنبه موجی و هم جنبه ذره‌ای از خود نشان دهد و تنها نظریه‌ای که می‌تواند این رفتار دوگانه را توجیه کند، نظریه الکترودینامیک کوانتومی است.

به‌حال یکی از راه‌های بررسی اپتیکی مواد، شناخت و بررسی ضریب شکست آن‌ها است. می‌دانیم که ضریب شکست یک ماده نسبت سرعت فازی نور در خلاء به سرعت آن در ماده است. در واقع می‌توان ضریب شکست را چگالی نوری مواد به‌شمار آورد. تا چند دهه پیش مردم فقط به ضریب شکست مواد معمولی که ماهیتاً مثبت بودند، توجه داشتند و آن‌ها را مورد بررسی قرار می‌دادند و اساساً کمتر کسی راجع به موادی با ضریب شکست منفی فکر می‌کرد. تفکر منفی بودن ضریب شکست، تفکر نغز و نادری بود که تا آن موقع در ذهن مردم شکل نگرفته بود.

اما در سال ۱۹۶۷ وسلاگوی^۲ روسی نظریه منفی شدن ضریب شکست را مطرح، و اثبات کرد که با

^۱ Maxwell
^۲ V. G. Veselago

منفی شدن هم‌زمان بخش حقیقی ضرایب گذردهی الکتریکی و تراوایی مغناطیسی در یک فرکانس خاص، بخش حقیقی ضریب شکست فازی ماده منفی می‌شود [۱]. اگرچه این موضوع ایده بسیار جالب و جدیدی بود اما چون ساخت چنین ماده‌ای بسیار دور از ذهن به نظر می‌رسید، لذا با استقبال چندانی مواجه نشد.

این روند تا اواخر دهه ۱۹۹۰ میلادی ادامه داشت تا این‌که جان پندری^۱ در سال ۱۹۹۶ موفق شد آرایه‌ای را بسازد که ضریب گذردهی الکتریکی حقیقی آن در تابش با فرکانس‌های گیگا هرتز، منفی شود [۲]. طبق نظریه ولاغو منفی شدن ضریب گذردهی الکتریکی به تنها‌ی برای ساخت مواد با ضریب شکست منفی کافی نبود. لذا سه سال گذشت تا این‌که پندری توانست آرایه‌ای را بسازد که در اثر تابش امواج با فرکانس‌های گیگا هرتز، ضریب تراوایی مغناطیسی حقیقی آن نیز منفی شود [۳]. اکنون شرایط برای ساخت آرایه‌ای که بتواند به طور هم‌زمان این دو ضریب را برای یک فرکانس خاص منفی کند مهیا شده بود. در سال ۲۰۰۰ اسمیت^۲ و همکارانش توانستند که با ترکیب دو آرایه پیشنهادی پندری، آرایه‌ای را بسازند که بخش حقیقی ضریب شکست فازی آن برای تابش در محدوده گیگا هرتز، منفی شود. پس از این واقعه بود که مواد با ضریب شکست منفی پا به عرصه وجود نهادند و بسیار مورد توجه و علاقه دانشمندان قرار گرفتند و سبب کشف و به وجود آمدن ایده‌هایی نو و جذاب مثل موج‌برها [۴,۵,۶]، تشدیدگرها [۷] و ابزار نامربی کردن [۸] شدند. اخیراً نیز نظریه‌هایی مبنی بر ایجاد این‌گونه مواد در محیط‌های گازی شکل گرفته است [۳۳].

در این پایان‌نامه سعی شده ضمن معرفی ماتریس پرتو برای تیغه‌ای از جنس مواد با ضریب شکست منفی، روش ماتریسی تحلیل سیستم‌های اپتیکی برای سیستم‌های شامل این‌گونه از مواد تعمیم داده شود. در فصل اول ضمن بیان مفهوم ضریب شکست منفی، به روش ساخت متامتریالی که ضریب شکست فازی منفی دارد اشاره شده و در ادامه بعضی از ویژگی‌ها و خصوصیات این‌گونه از مواد بیان

^۱ J. B. Pendry
^۲ D. R. Smith

گردیده است. در فصل دوم ماتریس پرتو 2×2 برای تیغه‌ای از جنس مواد با ضریب شکست منفی معرفی شده که به وسیله آن رفتار باریکه گاوسی تابیده شده به این تیغه‌ها مورد بررسی قرار گرفته و درستی رابطه کانونی عدسی کامل نشان داده شده است. در فصل سوم ضمن اشاره به روش ساخت دستگاه لیزر، تشدیدگرهای اپتیکی و همین‌طور تشدیدگرهای حاوی مواد با ضریب شکست منفی مورد ارزیابی قرار گرفته و با روش ماتریسی، پایداری آن‌ها مورد بحث قرار می‌گیرد. در پایان پیشنهاد ساخت فیبرنوری از جنس این‌گونه مواد ارائه شده است.

فصل اول

مواد با ضریب شکست منفی

مواد با ضریب شکست منفی^۱ که به اختصار آن‌ها را NRM می‌گویند، موادی هستند که ضریب شکست حقیقی آن‌ها منفی است. این مواد به‌واسطه ساختار ویژه‌ای که دارند، خواص ویژه‌ای را هم از خود نشان می‌دهند. NRM‌ها، تاکنون در طبیعت یافت نشده‌اند، اما ممکن است روزی خبر کشف آن‌ها در طبیعت به گوشمان برسد. این مواد از متامتریال‌ها ساخته شده و ساختاری مصنوعی دارند. متامتریال‌ها از شبکه‌های تناوبی و معمولاً با ساختاری از جنس فلز طوری ساخته می‌شوند که ویژگی‌های مطلوب ما را داشته باشند. در این فصل به بررسی این مواد و ویژگی‌های منحصر به فرد آن‌ها می‌پردازیم.

۱-۱ ضریب شکست منفی

تعریف ضریب شکست یک ماده در اپتیک هندسی به‌شكل $n = \frac{c}{v}$ است که در آن c سرعت نور در خلاء و v سرعت نور در ماده می‌باشد. طبق معادلات ماقسول ضریب شکست برای یک موج تخت به صورت $\epsilon\mu = n^2$ نوشته می‌شود که ϵ و μ به ترتیب ضرایب گذردهی الکترونیکی و تراوایی مغناطیسی نسبی ماده هستند. در مواد معمولی این ضرایب مثبت‌اند و لذا n به راحتی از رابطه فوق به‌دست می‌آید اما برای مواد ناهمسانگرد این ضرایب مخلوط می‌شوند و در نتیجه ضریب شکست رابطه متفاوتی پیدا

^۱ Negative Refractive index Materials

می‌کند. $4, \mu$ پاسخ ماکروسکوپی یک محیط همگن در مقابل میدان‌های الکتریکی و مغناطیسی را توصیف می‌کنند چراکه این‌ها خود پارامترهای ماکروسکوپی هستند. عموماً پاسخ ماکروسکوپی در میانگین زمانی و فضایی بزرگی معین می‌شود. طول مدت میانگین‌گیری در اندازه‌گیری‌های ماکروسکوپی به فرکانس نوسانگرهای مولکولی و یا اتمی (به‌طور جداگانه)، وقتی که در معرض میدان‌های خارجی قرار می‌گیرند بر می‌گردد. پس این موضوع را می‌توان برای مواد غیر همگن نیز تعمیم داد. مواد غیر همگنی که، در مقیاس طولی (ثابت شبکه) بسیار کوچک‌تر از طول موج تابش‌اند و نیز می‌توانند در مقایسه با مقیاس طولی اتمی و یا مولکولی بزرگ باشند. با توجه به این موضوع، تابش، این ساختارها را به‌طور جداگانه تفکیک نمی‌کند اما به تشديدهای ماکروسکوپی ساختار پاسخ می‌دهد. یعنی $4, \mu$ به‌طور همزمان به تابش پاسخ می‌دهند. حال اگر در این شرایط بخش حقیقی $4, \mu$ منفی شود، ضریب شکست محیط طبق رابطه $(1-3)$ منفی می‌شود [۹]. به چنین موادی متماثریال گفته می‌شود و با پارامترهای ماکروسکوپی‌ای مثل $4, \mu$ ، که مانند مواد همگن با این پارامترها پاسخ‌شان را نسبت به میدان‌های الکترومغناطیسی مشخص می‌کنند، توصیف می‌شوند [۱۰، ۱۱]. پس به‌طور خلاصه، هنگامی که دو آرایه‌ی کاملاً جدا که رفتارهای متفاوتی دارند ($4, \mu$) و هر یک به یکی از مؤلفه‌های میدان پاسخ می‌دهند با هم در یک ترکیب قرار می‌گیرند، چنانچه ثابت شبکه‌ها در قیاس با طول موج ناچیز باشد، این موج در داخل شبکه‌ها دچار پراش نمی‌شود و محیط برای این موج یک محیط پیوسته است. این ضعف موج در تشخیص ریز ساختار شبکه به ما امکان ساخت ترکیبی با خواص دلخواه را می‌دهد.

۲-۱ چرا n منفی می‌شود؟

تمام مواد پاشنده هستند یعنی در آن‌ها گذردهی الکتریکی و تراوایی مغناطیسی توابع مختلطی از فرکانس به‌دست می‌آیند و امواج درون آن‌ها میرا می‌شوند- رابطه $(1-17)$. اگر در ماده‌ای ضرایب

گذردهی الکتریکی و تراوایی مغناطیسی برای یک بازه از طول موج به صورت زیر شوند؛ یعنی:

$$\epsilon = |\epsilon| e^{i(\pi - \delta_i)} \quad \text{و} \quad \mu = |\mu| e^{i(\pi - \delta_r)} \quad (1-1)$$

که در آن‌ها δ_i, δ_r اختلاف فاز پاسخ ماده به میدان خارجی باشند، از نتایج معادلات ماکسول داریم:

$$\begin{aligned} n &= \sqrt{\epsilon \mu} = \sqrt{|\epsilon||\mu|} \sqrt{e^{i(\pi - (\delta_i + \delta_r))}} \\ &= \sqrt{|\mu||\epsilon|} \times \sqrt{e^{i\left(\pi - \frac{\delta_i + \delta_r}{2}\right)}} = \sqrt{|\mu||\epsilon|} \times e^{i\left(\pi - \frac{\delta_i + \delta_r}{2}\right)} \\ &= \sqrt{|\mu||\epsilon|} \times \left[\cos\left(\pi - \frac{\delta_i + \delta_r}{2}\right) + i \sin\left(\pi - \frac{\delta_i + \delta_r}{2}\right) \right] \\ &= \sqrt{|\mu||\epsilon|} \times \left[-\cos\left(\frac{\delta_i + \delta_r}{2}\right) + i \sin\left(\frac{\delta_i + \delta_r}{2}\right) \right] \end{aligned} \quad (2-1)$$

حال اگر $\delta_i + \delta_r = 0$ باشد بخش حقیقی ضریب شکست n منفی و بخش موهومی آن مثبت (صفر) می‌شود.

$$n = -\sqrt{|\mu||\epsilon|} \quad (3-1)$$

۳-۱ منفی شدن ضریب شکست یا معکوس شدن بردار موج

برای بررسی رفتار ماده در زمان منفی بودن μ, ϵ مثل همیشه به سراغ معادلات ماکسول می‌رویم و بررسی را از آن‌جا شروع می‌کنیم، داریم:

$$\begin{aligned} \nabla \times \vec{E} &= \frac{\partial \vec{B}}{\partial t} & \& \nabla \times \vec{H} &= \frac{\partial \vec{D}}{\partial t} + J & (4-1) \\ \vec{D} &= \epsilon \vec{E} & \& \vec{B} &= \mu \vec{H} \end{aligned}$$

که در آن‌ها \vec{E} میدان الکتریکی، \vec{H} شدت میدان مغناطیسی و \vec{D} جریان جابجایی می‌باشند. البته فرض بر این است که جریان رسانش صفر است. برای موج تخت تکفام با بردار موج \vec{k} ، طبق معادلات

ماکسول، به نتایج زیر می‌رسیم.

$$\vec{k} \times \vec{E} = \omega \mu_0 \mu \vec{H} \quad (5-1)$$

$$\vec{k} \times \vec{H} = -\omega \epsilon_0 \epsilon \vec{E} \quad (6-1)$$

در معادلات فوق، $\vec{k}, \vec{H}, \vec{E}$ یک دستگاه راستگرد را به نمایش می‌گذارند اما اگر در محیطی، قسمت حقیقی μ, ϵ به طور همزمان منفی شود و بخش موهومی آنها قابل اغماض باشد، $\vec{k}, \vec{H}, \vec{E}$ یک دستگاه چپگرد را تشکیل می‌دهند. به همین علت مواد با ضریب شکست منفی را مواد چپگرد نیز می‌نامند. از طرفی \vec{S} یک دستگاه راستگرد را تشکیل می‌دهند چراکه جهت انتشار انرژی در این مواد بنا به قانون علیت تغییر نمی‌کند. پس در می‌یابیم که بردار \vec{S} با بردار \vec{k} یعنی بردار موج، جهت‌های متفاوت دارند. دو دستگاه راستگرد و چپگرد در شکل (1-1) نشان داده شده‌اند.



شکل ۱-۱. شکل سمت راست دستگاه $\vec{E}, \vec{H}, \vec{E}$ راستگرد و شکل سمت چپ دستگاه $\vec{k}, \vec{H}, \vec{E}$ چپگرد. در این دستگاه \vec{k} و \vec{S} در خلاف جهت هم هستند.

در اینجا نکته قابل ذکر این است که اگر بردار موج \vec{k} علامت منفی به خود بگیرد، معادلات موج \vec{E} و \vec{H} چنین می‌شوند:

$$\vec{E} = \hat{E}_0 e^{-i(\omega t + \vec{k} \cdot \vec{r})} \quad (7-1)$$

$$\vec{H} = \hat{H}_0 e^{-i(\omega t + \vec{k} \cdot \vec{r})} \quad (8-1)$$

يعنى ظاهراً جهت انتشار اين امواج در محيط NRM نيز عوض مى شود اما باید گفت که حتی اگر چنین اتفاقی رخ دهد، بردار پوئنتینگ همچنان بدون تغيير باقی مى ماند. چون که $\vec{S} = \vec{E} \times \vec{H}$. از

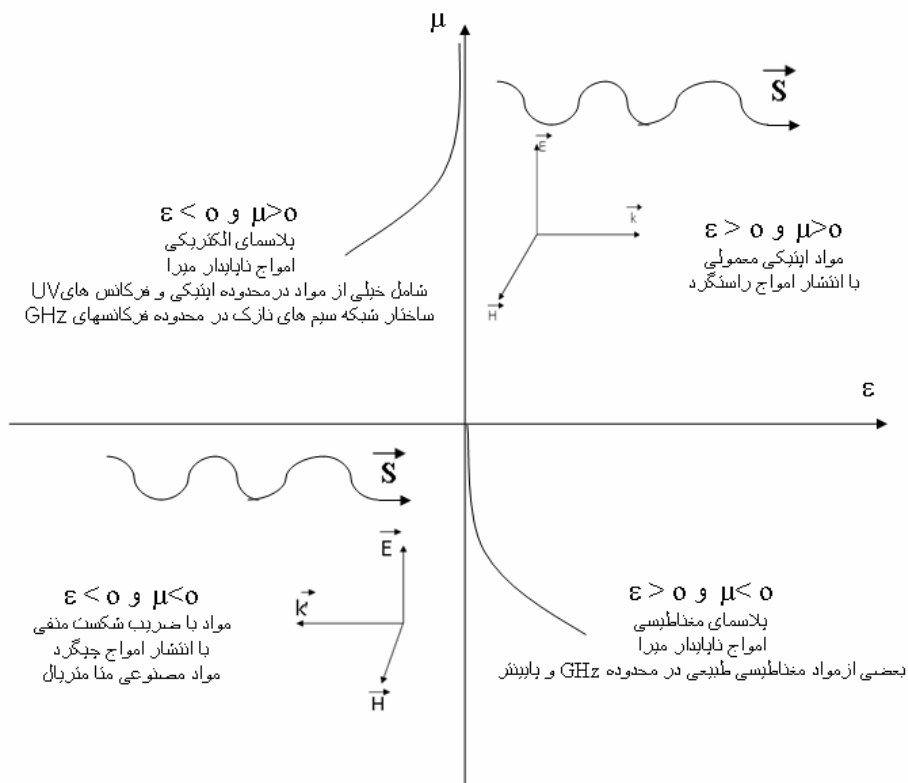
آن جايی که بردار \vec{k} در رابطه پاشندگی زير صدق مى كند:

$$\vec{k} = n \frac{\omega}{c} \hat{n} \quad (9-1)$$

لذا اين رابطه حكم مى كند که n مقداری منفي باشد. در اين رابطه \hat{n} برداری است که در راستا انتشار انرژي \vec{S} مى باشد. پس با توجه به مطالب گفته شده در اينجا و در بخش قبل، با منفي بودن همزمان ϵ, μ ضريب شکست n از دو معادله مجزا يعني (9-1) و (9-3) مقدار منفي به خود مى گيرد. در الواقع به اين نتیجه مى رسيم که منفي بودن (يا شدن) ضريب شکست يك محيط، معادل پيدايش بردار موجي در آن است که با بردار موج ميدان تابشي در خارج از محيط مختلف الجهت مى باشد.

با توجه به روابط سرعت فاز و سرعت گروه تغيير جهت بردار موج در NRM باعث مى شود تا سرعت فاز نيز در اين مواد تغيير جهت دهد. اين در حالی است که سرعت گروه همچنان مى تواند در جهت انتشار انرژي بماند [9].

باید توجه داشت که اين اتفاقات زمانی رخ مى دهند که در محيط، بخش حقيقي هر دو پaramتر ϵ, μ منفي شود. اگر فقط يكی از آنها منفي شود، يعني $\text{Re}(\epsilon) > 0$ و $\text{Re}(\mu) < 0$ محيط ديگر اجازه انتشار امواج را در درون خود نمى دهد و امواج به سرعت ميرا مى شوند. اين موضوع در بخش هاي بعد آورده شده است. در شكل (2-1) مواد بر اساس علامت ϵ, μ تقسيم بندی شده اند. با توجه به اين شكل امواج فقط در نواحي 1 و 3 مى توانند از محيط عبور کنند [9].



شکل ۱-۲. تقسیم‌بندی مواد بر اساس ویژگی‌های مغناطیسی و الکتریکی. خطهای موجی در ناحیه ۱ و ۳ نشان دهنده این است که این مواد اجازه انتشار امواج را در درون خود می‌دهند. در ناحیه ۲ و ۴ امواج در درون مواد ناپایدارند که در شکل به صورت نمایی افت دامنه امواج نشان داده است [۹].

۱-۴ آیا در مواد طبیعی ϵ منفی وجود دارد؟

در فرکانس‌های اپتیکی، خیلی از فلزات ضریب گذرهای الکتریکی منفی دارند و آن هنگامی است که الکترون‌های رسانش در فلزات می‌توانند انباشه شوند و بین یون‌های مثبت ساکن هسته‌ها به‌طور آزادانه نوسان کنند و کل این مجموعه از نظر بار الکتریکی خنثی باشد. این حالت همان رفتار شبیه پلاسمایی است که برای یک ضریب گذرهای الکتریکی منفی در فرکانس‌های کمتر از فرکانس پلاسما رخ می‌دهد. برای پلاسماهای گازی و حالت جامد $\epsilon < 0$ قابل حصول است.

برای پی بردن به روند منفی شدن ضریب گذرهای الکتریکی در فلزات، رابطه آن را با پارامترهای فلز و فرکانس طبیعی آن به‌دست می‌آوریم.

فرض کنیم که در محیط، هیچ توزیع بار و جریان خالصی وجود ندارد. اگر این محیط در معرض موج الکترومغناطیسی قرار گیرد، جریان‌های القایی بهدلیل وجود حامل‌های بار آزاد در محیط رسانا شکل می‌گیرند. لذا برای معادلات ماکسول داریم:

$$\begin{aligned}\nabla \times H &= \frac{\partial D}{\partial t} + gE & \nabla \cdot D &= 0 & D &= \epsilon \epsilon_0 E \\ \nabla \times E &= -\frac{\partial B}{\partial t} & \nabla \cdot B &= 0 & B &= \mu \mu_0 H\end{aligned}\quad (10-1)$$

یادآور می‌شویم که μ_0 رسانندگی محیط و ϵ_0 بهترتیب ضرایب گذردگی و تراوایی نسبی محیط‌اند. از معادله شدت میدان مغناطیسی می‌توان برای یک موج تخت تکفام چنین نوشت:

$$k \times H_c = -\omega D_c - igE_c \quad (11-1)$$

که اندیس c نشانگر کمیت‌های مختلف می‌باشد. چون فلزات پاسخ مغناطیسی ندارند، پس فرض می‌شود که تراوایی محیط با خلاء برابر است. لذا، $\mu = \frac{\mu_0}{c^2} = \frac{1}{c^2}$ است پس

(11-1) را چنین می‌نویسیم:

$$k \times B = -\frac{\omega}{c^2} \left(\epsilon_0 + \frac{ig}{\epsilon_0 \omega} \right)$$

کمیت داخل پرانتر را بهدلیل مختلف بودن با ϵ_0 نشان می‌دهیم. ϵ یا ضریب گذردگی خلاء کمیتی مختلف بهدست آمد. حال از معادلات ماکسول در (10-1) استفاده می‌کنیم و بردار موج را برای محیط مختلف بهدست می‌آوریم.

$$k^2 = \left(\epsilon + \frac{ig}{\epsilon_0 \omega} \right) \frac{\omega^2}{c^2} \Rightarrow k = \frac{\sqrt{\epsilon_0 \epsilon}}{c} \quad (12-1)$$

و از اینجا رابطه محیط رسانا با بردار موج و فرکانس بهدست می‌آید. مختلف بودن ϵ منجر به مختلف شدن بردار موج می‌شود. هنگام تابش موج الکترومغناطیسی به فلز، موج درون فلز (اگر ϵ بی‌نهایت نباشد) منتشر می‌شود اما بهشت و بهصورت نمایی متلاشی می‌گردد.

چگونگی انتشار امواج الکترومغناطیسی در محیط‌های خطی، به‌طور کامل با ثابت‌های اپتیکی n (ضریب شکست) و k (بردار موج) تعیین می‌شود که این ثابت‌ها تنها به ثابت دی‌الکتریک K و رسانندگی g و ماده و از همه مهم‌تر به فرکانس موج بستگی دارند. مدل درود-لورنتس یک مدل میکروسکوپی است که می‌توان رفتار مواد را پیشگویی کند و بر این پایه مبتنی است که ذرات باردار تشکیل‌دهنده ماده به‌صورت نوسانگرهای هارمونیک کلاسیک یا به‌صورت ذرات آزاد در نظر گرفته شوند [۹].

معادله حرکت کلاسیک برای نوسانگر یک بعدی میرایی و اداشتہ عبارت است از:

$$\frac{d^{\gamma}x}{dt^{\gamma}} + \gamma \frac{dx}{dt} + \omega_0^{\gamma} \cdot x = \frac{eE_m}{m} \quad (13-1)$$

که در آن ω فرکانس طبیعی ذره، γ ثابت میرایی و E_m میدان مولکولی است. e و m هم به‌ترتیب بار و جرم ذره هستند. با فرض این‌که میدان مولکولی، میدانی یکنواخت است و عدد موج k ای آن برابر صفر، پس $E_m = \hat{E}_m e^{-i\omega t}$. حال با توجه به این فرض، جواب‌های حالت پایابی معادله (۱۳-۱) با روش مشهور جایگزینی $X_c = X_{(t)} e^{-i\omega t}$ به‌دست می‌آیند. نتیجه عبارت است از:

$$X_c = \frac{\frac{eE_m}{m}}{\omega_0^{\gamma} - \omega^{\gamma} - i\gamma\omega} \quad (14-1)$$

در این رابطه دامنه حرکت ذره با میدان وادارنده E_m و فرکانس وادارنده که به ازای $\omega = \omega$ خیلی بزرگ است (تشدید) متناسب می‌شود. با استفاده از رابطه قطبش خطی؛

$$P = (\epsilon_c - 1)\epsilon_0 E = -Nex = \frac{Ne^{\gamma}/mE}{\omega_0^{\gamma} - \omega(\omega + i\gamma)}$$

برای ϵ_c یا ثابت دی‌الکتریک محیط به‌دست می‌آوریم که:

$$\epsilon_c = 1 + \frac{\omega_p^{\gamma}}{\omega_0^{\gamma} - \omega^{\gamma} - i\gamma\omega} \quad (15-1)$$

که در آن ω_p فرکانس پلاسمما است. یعنی:

$$\omega_p = \sqrt{\frac{Ne^{\gamma}}{\epsilon_0 m}} \quad (16-1)$$

برای بارهای آزاد که در پلاسما وجود دارند دیگر نیروی بازگرداننده‌ای از طرف هسته‌ها وجود ندارد.

لذا $\omega = \omega_0$ می‌شود و جمله نیروی بازگرداننده در رابطه (۱۳-۱) حذف می‌گردد. پس رابطه (۱۵-۱) را

می‌توان چنین نوشت؛

$$\epsilon_c = 1 - \frac{\omega_p^r}{\omega^r - i\gamma\omega} \quad (17-1)$$

و مقدار حقیقی آن به صورت زیر است:

$$\epsilon_r = 1 - \frac{\omega_p^r}{\omega^r + \gamma^r} \quad (18-1)$$

و اگر فرض کنیم که میرایی محیط برابر صفر باشد داریم:

$$\epsilon_r = 1 - \frac{\omega_p^r}{\omega^r} \quad (19-1)$$

با کمی دقت می‌توان فهمید که در فرکانس‌های موج تابشی (ω) کمتر از فرکانس پلاسما، منفی می‌شود. اگر به هر نحوی فرکانس پلاسما از فرکانس موج تابشی بزرگ‌تر شود، ضریب گذردهی الکتریکی مقادیر منفی به خود می‌گیرد. در محدوده نور مرئی فلزاتی مانند نقره و جیوه مقدار منفی دارند، اما همان‌طور که بیان شد، چون در ماتامتریال‌ها ثابت شبکه باید خیلی کوچک‌تر از طول موج تابشی باشد لذا تا حد امکان فرکانس را در محدوده گیگاهرتز در نظر می‌گیریم [۹]. از رابطه (۱۶-۱) معلوم است که فرکانس پلاسما به N, m بستگی دارد و با تغییر این دو، فرکانس پلاسما نیز تغییر می‌کند. اگر ω_p را پایین بیاوریم، درواقع آستانه منفی شدن را کمتر کرده‌ایم. پس با این حال به محیطی احتیاج داریم که تعداد ذرات در واحد حجم آن کمتر و جرم ذرات آن بیشتر باشد. چنین چیزی در طبیعت یافت نمی‌شود، اما می‌توان برای این منظور ساختاری مصنوعی ایجاد کرد [۱۳].

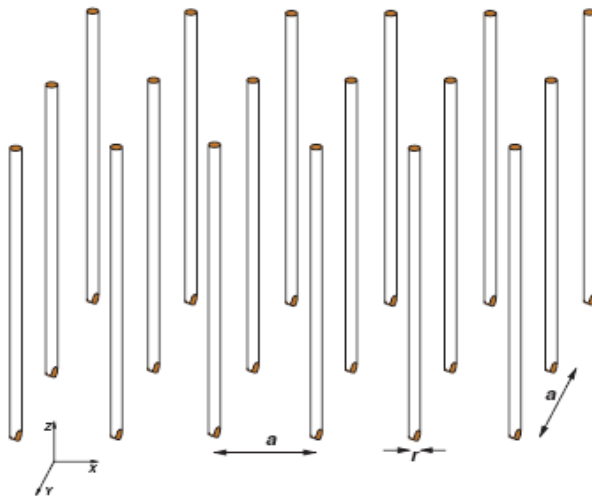
۱-۵ شبکه سیمی به عنوان ماده‌ای با ϵ منفی در فرکانس‌های پایین GHz

کامپوزیت‌های متامتریال به علت پاسخ‌های الکترودینامیکی بسیار زیادی که دارند مدت‌هاست که مورد مطالعه دانشمندان قرار گرفته‌اند [۱۴]. تئوری محیط‌های مؤثر برای توضیح و تفسیر چنین سیستم‌هایی، وقتی که طول موج تابش فرودی خیلی بزرگ‌تر از واحد طبیعی مقیاس طول ساختار باشد، بسط و گسترش یافته‌اند.

پندری در [۲، ۱۳] و سِون پیپر^۱ در [۱۵] به طور جداگانه اثبات کردند که ساختارهای شبکه سیمی فلزی می‌توانند برای ساختن متامتریالی که خصوصیات ذکر شده را داشته باشد به کار روند و دارای یک نقطه توقف باند پایینی فرکانس باشند. از فرکانس صفر تا فرکانس قطعی بالا- که به حرکت الکترون‌ها در سیم‌های فلزی نسبت داده می‌شوند. متامتریال مورد بررسی پندری شامل سیم‌های باریک و درازند که در مقیاس‌های کوچک‌تر از طول موج ساخته شده‌اند و می‌توانند به طور مؤثری همگن باشند. باند توقف پایین فرکانس می‌تواند به گذردگی الکتریکی منفی نسبت داده شود و منجر به دست‌یابی به مواد با گذردگی الکتریکی منفی گردد. حتی این روش برای فرکانس‌های مایکروویو نیز می‌تواند ایده خوبی باشد.

سیستمی را که پندری معرفی کرد- شبکه سیم‌های نازک و دراز فلزی- می‌تواند پارامترهای به کار رفته در ω_p را تغییر دهد و آستانه فرکانس قطع را پایین بیاورد [۹]. در این کامپوزیت می‌توان چگالی تعداد الکترون‌ها را کم کرد و جرم مؤثر الکترون‌ها را افزایش داد به‌طوری‌که جرم الکtron به سنگینی جرم اتم نیتروژن بمنظر رسد. در شکل (۱-۳) پیکربندی شبکه سیمی نازک و دراز فلزی نشان داده شده است. این شبکه سیمی رفتاری شبیه پلاسما با چگالی پایین و حامل بارهای سنگین دارد. وقتی که این آرایه را در معرض امواج الکتریکی موازی با محور سیم‌ها و با فرکانس GHz قرار دهیم، الکترون‌های درون سیم مجبور به حرکت در امتداد سیم می‌شوند.

^۱ Sievenpiper



شکل ۱-۳. آرایه‌ای از سیم‌های نازک و دراز که فاصله هر کدام از سیم‌ها a می‌باشد (ثابت شبکه). سطح مقطع یک سیم πr^2 است که ۲ شعاع میله است [۹].

چون میدان تابشی باید از شرط $r \gg a \gg \lambda$ پیروی کند، لذا نمی‌تواند تک‌تک سیم‌ها را به‌طور جداگانه "ببینند" و چگالی الکترون‌های درون آن‌ها را تغییر دهد، بلکه فقط می‌تواند چگالی بار متوسط را تغییر دهد. برای چگالی بار متوسط یا مؤثر، داریم؛

$$N_{eff} = \frac{\pi r^2}{a^2} n \quad (20-1)$$

که در آن n چگالی واقعی الکترون‌های درون سیم‌ها است. در این رابطه ضریب سطح مؤثر یا $\frac{\pi r^2}{a^2}$ باعث کاهش چگالی الکترون‌ها از n به N_{eff} شده است.

اما در این آرایه اتفاق مهم دیگری نیز رخ می‌دهد که سبب افزایش جرم مؤثر الکترون‌های درون سیم‌های نازک می‌شود. ما در پی یافتن راهی هستیم که بتوان جرم الکترون‌ها را با استفاده از پارامترهای آرایه فلزی تغییر داد. حال تنها رابطه‌ای که جرم در آن ظاهر می‌شود همان رابطه تکانه وارد شده بر الکtron است. هرگاه برهم‌کنش الکترون‌ها را با میدان الکترومغناطیسی بررسی کنیم در می‌یابیم که معادله‌ای که این برهم‌کنش را توصیف می‌کند معادله کلاسیک نیروی لورنتز است و

هامیلتونی کلاسیک الکترون در حضور میدان با تبدیل پیمانه‌ای $P \rightarrow P + eA$ همچنان در آن صادق

می‌باشد [۱۲]. از اینجا پیداست که باید پتانسیل برداری محاسبه گردد.

وقتی که آرایه سیم‌های نازک در معرض میدان الکتریکی قرار می‌گیرند، جریان القایی درون آنها به

وجود می‌آید که این جریان‌ها، میدان مغناطیسی در اطراف سیم‌ها به وجود می‌آورند.

میدان مغناطیسی در فاصله ρ از یک سیم را در نظر بگیرید. این میدان به دلیل این‌که چگالی جریان

غیر یکنواخت است، میدانی متغیر و غیر یکنواخت می‌باشد و تا اندازه‌ای بزرگ می‌شود که سیم‌ها

بیشتر شار را از خود عبور دهند. با استفاده از تقارن می‌توان یک نقطه صفر برای میدان مغناطیسی

بین سیم‌ها پیدا کرد. پس بنابراین می‌توان میدان مغناطیسی را در فاصله ρ از یک سیم به صورت زیر

به دست آورد [۹]:

$$\vec{H}_{(\rho)} = \frac{\hat{\phi} I}{2\pi} \left(\frac{1}{\rho} - \frac{1}{a-\rho} \right)$$

که در آن $\hat{\phi}$ برداری که زاویه‌ای در دستگاه استوانه‌ای است.

از اینجا پتانسیل برداری مربوط به میدان یک میله رسانای حامل جریان با طول زیاد را با استفاده از

شرایط مرزی که روی محیط میله و نقطه صفر بین میله‌ها ($\frac{a}{2}$) می‌باشد، به دست می‌آوریم.

با محاسبه مستقیم $\nabla \times A$ داریم:

$$\vec{A}_{(\rho)} = \frac{\hat{Z}I}{2\pi} \left[\frac{a}{\epsilon\rho(a-\rho)} \right] \quad \text{برای } \rho < \frac{a}{2}$$

$$\vec{A}_{(\rho)} = 0 \quad \text{برای } \rho > \frac{a}{2}$$

با این شرایطی که اعمال شد از همپوشانی پتانسیل برداری یک سیم با سیم دیگر جلوگیری می‌شود و

القای متقابل بین سیم‌های مجاور کاملاً مشخص می‌گردد.

با توجه به این‌که $a \ll r$ می‌باشد و جریان درون میله برابر است با $I = \pi r^2 n ev$ ، که در آن v

سرعت متوسط الکترون است، لذا پتانسیل برداری برای میدان میانگین به شکل ساده زیر در می‌آید،